



植物園の生物中心
環境共生施設に関する研究

*Botanical Observations
and Research on the
Ecology of the Garden*

小竹 啓香子

第 1 章	1
第 2 章	10
第 3 章	15
第 4 章	20
第 5 章	25
第 6 章	30
第 7 章	35
第 8 章	40
第 9 章	45
第 10 章	50
第 11 章	55
第 12 章	60
第 13 章	65
第 14 章	70
第 15 章	75
第 16 章	80
第 17 章	85
第 18 章	90
第 19 章	95
第 20 章	100
第 21 章	105
第 22 章	110
第 23 章	115
第 24 章	120
第 25 章	125
第 26 章	130
第 27 章	135
第 28 章	140
第 29 章	145
第 30 章	150
第 31 章	155
第 32 章	160
第 33 章	165
第 34 章	170
第 35 章	175
第 36 章	180
第 37 章	185
第 38 章	190
第 39 章	195
第 40 章	200
第 41 章	205
第 42 章	210
第 43 章	215
第 44 章	220
第 45 章	225
第 46 章	230
第 47 章	235
第 48 章	240
第 49 章	245
第 50 章	250
第 51 章	255
第 52 章	260
第 53 章	265
第 54 章	270
第 55 章	275
第 56 章	280
第 57 章	285
第 58 章	290
第 59 章	295
第 60 章	300
第 61 章	305
第 62 章	310
第 63 章	315
第 64 章	320
第 65 章	325
第 66 章	330
第 67 章	335
第 68 章	340
第 69 章	345
第 70 章	350
第 71 章	355
第 72 章	360
第 73 章	365
第 74 章	370
第 75 章	375
第 76 章	380
第 77 章	385
第 78 章	390
第 79 章	395
第 80 章	400
第 81 章	405
第 82 章	410
第 83 章	415
第 84 章	420
第 85 章	425
第 86 章	430
第 87 章	435
第 88 章	440
第 89 章	445
第 90 章	450
第 91 章	455
第 92 章	460
第 93 章	465
第 94 章	470
第 95 章	475
第 96 章	480
第 97 章	485
第 98 章	490
第 99 章	495
第 100 章	500

1972] *WATERBURY AND WILSON: THE CHEMISTRY OF THE
 1973] **Fig. 1.** Structure of *isobutanoic acid*.*



**Structure I. (C₄H₈O₂)
 Structure II. (C₄H₈O₂)**

Fig. 2. Structure of *isobutanoic acid* and *isobutanoic acid*.



**Structure I. (C₄H₈O₂)
 Structure II. (C₄H₈O₂)**

1972] *WATERBURY AND WILSON: THE CHEMISTRY OF THE
 1973] **Fig. 3.** Structure of *isobutanoic acid*.*



**Structure I. (C₄H₈O₂)
 Structure II. (C₄H₈O₂)**

Fig. 4. Structure of *isobutanoic acid* and *isobutanoic acid*.



表 1-2 各種天然植物纖維的組成成分與特性

纖維名稱	主要成分	特性
棉纖維	纖維素	強韌、吸汗、透氣
麻纖維	纖維素	強韌、吸汗、透氣
絲纖維	蛋白質	柔軟、吸汗、透氣
毛纖維	蛋白質	柔軟、吸汗、透氣
竹纖維	纖維素	強韌、吸汗、透氣
亞麻纖維	纖維素	強韌、吸汗、透氣
苧麻纖維	纖維素	強韌、吸汗、透氣
黃麻纖維	纖維素	強韌、吸汗、透氣
蘭麻纖維	纖維素	強韌、吸汗、透氣
苧麻纖維	纖維素	強韌、吸汗、透氣
苧麻纖維	纖維素	強韌、吸汗、透氣

Table 1-2. Composition and characteristics of natural fibers



Fig. 1-1. Chemical structures of cellulose

of the cellulose molecule. The cellulose molecule is a long chain of glucose units, which are linked together by hydrogen bonds. This structure gives cellulose its high tensile strength and high thermal stability. The cellulose molecule is also highly hydrophilic, which allows it to absorb water and maintain its strength even in wet conditions. This is why cellulose is a common material for making paper and other textile fibers.

The cellulose molecule is also highly crystalline, which means that the glucose units are arranged in a regular, repeating pattern. This crystalline structure is what gives cellulose its high tensile strength and high thermal stability.

Table 1-3. Chemical structures of cellulose and hemicellulose



2.1 模型

假设在 t 时刻，系统处于状态 $x(t)$ ，则系统的状态方程为：

$$\dot{x}(t) = Ax(t) + Bu(t) + w(t)$$
 其中 A 为系统矩阵， B 为控制矩阵， $w(t)$ 为系统噪声。系统的输出方程为：

$$y(t) = Cx(t) + v(t)$$
 其中 C 为输出矩阵， $v(t)$ 为观测噪声。系统的初始条件为：

$$x(0) = x_0$$
 系统的性能指标为：

$$J = \int_0^{\infty} (x^T Q x + u^T R u + x^T S \dot{x}) dt$$
 其中 Q 、 R 、 S 为对称正定矩阵。系统的控制律为：

$$u(t) = -Kx(t) + \dot{x}_d(t)$$
 其中 K 为反馈增益矩阵， $x_d(t)$ 为期望轨迹。系统的跟踪误差为：

$$e(t) = x(t) - x_d(t)$$
 系统的跟踪误差方程为：

$$\dot{e}(t) = (A - BK)e(t) + \dot{x}_d(t) - Ax_d(t) - B\dot{x}_d(t)$$
 系统的跟踪误差性能指标为：

$$J_e = \int_0^{\infty} (e^T Q_e e + \dot{e}^T S_e \dot{e}) dt$$
 其中 Q_e 、 S_e 为对称正定矩阵。系统的跟踪误差方程的解为：

$$e(t) = e^{-\lambda t} (x_0 - x_d(0)) + \int_0^t e^{-\lambda(t-\tau)} (\dot{x}_d(\tau) - Ax_d(\tau) - B\dot{x}_d(\tau)) d\tau$$
 系统的跟踪误差性能指标的解为：

$$J_e = \frac{1}{2\lambda} (x_0 - x_d(0))^T (Q_e + S_e \lambda) (x_0 - x_d(0)) + \frac{1}{2\lambda} \int_0^{\infty} (\dot{x}_d(\tau) - Ax_d(\tau) - B\dot{x}_d(\tau))^T (Q_e + S_e \lambda) (\dot{x}_d(\tau) - Ax_d(\tau) - B\dot{x}_d(\tau)) d\tau$$

2.2 模型

假设在 t 时刻，系统处于状态 $x(t)$ ，则系统的状态方程为：

$$\dot{x}(t) = Ax(t) + Bu(t) + w(t)$$
 其中 A 为系统矩阵， B 为控制矩阵， $w(t)$ 为系统噪声。系统的输出方程为：

$$y(t) = Cx(t) + v(t)$$
 其中 C 为输出矩阵， $v(t)$ 为观测噪声。系统的初始条件为：

$$x(0) = x_0$$
 系统的性能指标为：

$$J = \int_0^{\infty} (x^T Q x + u^T R u + x^T S \dot{x}) dt$$
 其中 Q 、 R 、 S 为对称正定矩阵。系统的控制律为：

$$u(t) = -Kx(t) + \dot{x}_d(t)$$
 其中 K 为反馈增益矩阵， $x_d(t)$ 为期望轨迹。系统的跟踪误差为：

$$e(t) = x(t) - x_d(t)$$
 系统的跟踪误差方程为：

$$\dot{e}(t) = (A - BK)e(t) + \dot{x}_d(t) - Ax_d(t) - B\dot{x}_d(t)$$
 系统的跟踪误差性能指标为：

$$J_e = \int_0^{\infty} (e^T Q_e e + \dot{e}^T S_e \dot{e}) dt$$
 其中 Q_e 、 S_e 为对称正定矩阵。系统的跟踪误差方程的解为：

$$e(t) = e^{-\lambda t} (x_0 - x_d(0)) + \int_0^t e^{-\lambda(t-\tau)} (\dot{x}_d(\tau) - Ax_d(\tau) - B\dot{x}_d(\tau)) d\tau$$
 系统的跟踪误差性能指标的解为：

$$J_e = \frac{1}{2\lambda} (x_0 - x_d(0))^T (Q_e + S_e \lambda) (x_0 - x_d(0)) + \frac{1}{2\lambda} \int_0^{\infty} (\dot{x}_d(\tau) - Ax_d(\tau) - B\dot{x}_d(\tau))^T (Q_e + S_e \lambda) (\dot{x}_d(\tau) - Ax_d(\tau) - B\dot{x}_d(\tau)) d\tau$$

2.3 模型

假设在 t 时刻，系统处于状态 $x(t)$ ，则系统的状态方程为：

$$\dot{x}(t) = Ax(t) + Bu(t) + w(t)$$
 其中 A 为系统矩阵， B 为控制矩阵， $w(t)$ 为系统噪声。系统的输出方程为：

$$y(t) = Cx(t) + v(t)$$
 其中 C 为输出矩阵， $v(t)$ 为观测噪声。系统的初始条件为：

$$x(0) = x_0$$
 系统的性能指标为：

$$J = \int_0^{\infty} (x^T Q x + u^T R u + x^T S \dot{x}) dt$$
 其中 Q 、 R 、 S 为对称正定矩阵。系统的控制律为：

$$u(t) = -Kx(t) + \dot{x}_d(t)$$
 其中 K 为反馈增益矩阵， $x_d(t)$ 为期望轨迹。系统的跟踪误差为：

$$e(t) = x(t) - x_d(t)$$
 系统的跟踪误差方程为：

$$\dot{e}(t) = (A - BK)e(t) + \dot{x}_d(t) - Ax_d(t) - B\dot{x}_d(t)$$
 系统的跟踪误差性能指标为：

$$J_e = \int_0^{\infty} (e^T Q_e e + \dot{e}^T S_e \dot{e}) dt$$
 其中 Q_e 、 S_e 为对称正定矩阵。系统的跟踪误差方程的解为：

$$e(t) = e^{-\lambda t} (x_0 - x_d(0)) + \int_0^t e^{-\lambda(t-\tau)} (\dot{x}_d(\tau) - Ax_d(\tau) - B\dot{x}_d(\tau)) d\tau$$
 系统的跟踪误差性能指标的解为：

$$J_e = \frac{1}{2\lambda} (x_0 - x_d(0))^T (Q_e + S_e \lambda) (x_0 - x_d(0)) + \frac{1}{2\lambda} \int_0^{\infty} (\dot{x}_d(\tau) - Ax_d(\tau) - B\dot{x}_d(\tau))^T (Q_e + S_e \lambda) (\dot{x}_d(\tau) - Ax_d(\tau) - B\dot{x}_d(\tau)) d\tau$$

Table 1
 Subsystem Classification of Subsystems in Fig. 1 and Fig. 2



The diagram illustrates the classification of subsystems. Subsystem 1 is characterized by its dynamic behavior and its interaction with the rest of the system. Subsystem 2 is characterized by its dynamic behavior and its interaction with the rest of the system. Subsystem 1.1 and Subsystem 1.2 are sub-subsystems of Subsystem 1, each with its own characteristics. Subsystem 2.1 and Subsystem 2.2 are sub-subsystems of Subsystem 2, each with its own characteristics.

The classification of subsystems is based on their dynamic behavior and their interaction with the rest of the system. This classification is essential for the design of control systems for the overall system.

Fig. 10. IR spectrum of polyacrylonitrile (M_n = 100,000).



Fig. 11. ¹³C-NMR spectrum of polyacrylonitrile (M_n = 100,000). Solvent, CDCl₃.



Fig. 12. ¹³C-NMR spectrum of polyacrylonitrile (M_n = 100,000). Solvent, CDCl₃.



of the acrylonitrile units. The spectrum shows a complex set of peaks, with a very tall peak at approximately 118 ppm and another at approximately 165 ppm. The spectrum is consistent with the structure of polyacrylonitrile, showing the presence of both acrylonitrile and acrylamide units. The spectrum is consistent with the structure of polyacrylonitrile, showing the presence of both acrylonitrile and acrylamide units.

Table 2.10 The 2001-2002 Survey of Internationalization of U.S. Firms

Firm Size	U.S. Firms		Foreign Firms
	U.S. Firms	Foreign Firms	
100-200 employees	20%	10%	10%
200-500 employees	30%	15%	15%
500-1,000 employees	40%	20%	20%
1,000-5,000 employees	50%	30%	30%
5,000-10,000 employees	60%	40%	40%
10,000-25,000 employees	70%	50%	50%
25,000-50,000 employees	80%	60%	60%
50,000-100,000 employees	90%	70%	70%
100,000+ employees	100%	90%	90%

2.2 Internationalization of U.S. Firms

The 2001-2002 Survey of Internationalization of U.S. Firms

The survey results show that the majority of U.S. firms are not internationalized, with only 20% of firms having international operations. This is a significant increase from the 1997-1998 survey, when only 10% of firms were internationalized.

The survey also shows that the majority of internationalized U.S. firms are large firms, with 90% of firms having 100,000 or more employees. This is a significant increase from the 1997-1998 survey, when only 70% of internationalized firms were large firms.

The survey also shows that the majority of internationalized U.S. firms are in the manufacturing sector, with 60% of firms in manufacturing. This is a significant increase from the 1997-1998 survey, when only 40% of internationalized firms were in manufacturing.

The survey also shows that the majority of internationalized U.S. firms are in the service sector, with 40% of firms in services. This is a significant increase from the 1997-1998 survey, when only 30% of internationalized firms were in services.

The survey also shows that the majority of internationalized U.S. firms are in the technology sector, with 30% of firms in technology. This is a significant increase from the 1997-1998 survey, when only 20% of internationalized firms were in technology.

The survey also shows that the majority of internationalized U.S. firms are in the financial sector, with 20% of firms in finance. This is a significant increase from the 1997-1998 survey, when only 10% of internationalized firms were in finance.

FIG. 2. 10°E LINE SECTION AND NORTH SIDE OF SECTION AT 2°E



10°E LINE SECTION AND NORTH SIDE OF SECTION AT 2°E

Fig. 2. 10°E LINE SECTION AND NORTH SIDE OF SECTION AT 2°E



1951年12月10日... 中国科学院... 北京... 1951年12月10日... 中国科学院... 北京...

图 1.1 中国科学院... 北京... 中国科学院... 北京...



1951年12月10日... 中国科学院... 北京... 1951年12月10日... 中国科学院... 北京...

图 1.2 中国科学院... 北京... 中国科学院... 北京...



1951年12月10日... 中国科学院... 北京... 1951年12月10日... 中国科学院... 北京...

Appendix 1: Financial data

1. Data for the 10 largest companies in each of the 10 countries, ranked according to sales, are presented in Table 1. The data are based on the 2012 financial statements of the companies. The data are based on the 2012 financial statements of the companies. The data are based on the 2012 financial statements of the companies.

2. Data for the 10 largest companies in each of the 10 countries, ranked according to sales, are presented in Table 2. The data are based on the 2012 financial statements of the companies. The data are based on the 2012 financial statements of the companies. The data are based on the 2012 financial statements of the companies.

Table 1 Data for the 10 largest companies in each of the 10 countries, ranked according to sales, 2012

Table 2 Data for the 10 largest companies in each of the 10 countries, ranked according to sales, 2012

Country	Company	Revenue (€ million)	Profit (€ million)	Profit margin (%)
Germany	1. Volkswagen	155,000	10,000	6.5
	2. Daimler	145,000	12,000	8.3
	3. SAP	135,000	15,000	11.1
	4. Linde	125,000	18,000	14.4
	5. Allianz	115,000	10,000	8.7
	6. Bayer	105,000	12,000	11.4
	7. Henkel	95,000	10,000	10.5
	8. BASF	85,000	12,000	14.1
	9. Continental	75,000	8,000	10.7
	10. ThyssenKrupp	65,000	5,000	7.7
France	1. L'Oréal	22,000	2,500	11.4
	2. Total	20,000	2,000	10.0
	3. Carrefour	18,000	1,500	8.3
	4. Danone	16,000	1,800	11.3
	5. Airbus	14,000	1,200	8.6
	6. Bouygues	12,000	1,000	8.3
	7. Alcatel	10,000	1,200	12.0
	8. Bouffes	8,000	800	10.0
	9. Bouygues	6,000	600	10.0
	10. Bouygues	4,000	400	10.0

Table 1

10 largest companies in each of the 10 countries, ranked according to sales, 2012

Country	Company	Revenue (€ million)	ROE (%)	
			2011	2012
Germany	1. Volkswagen	155,000	12.5	13.5
	2. Daimler	145,000	15.0	16.0
	3. SAP	135,000	18.0	19.0
	4. Linde	125,000	20.0	21.0
	5. Allianz	115,000	14.0	15.0
	6. Bayer	105,000	16.0	17.0
	7. Henkel	95,000	14.0	15.0
	8. BASF	85,000	16.0	17.0
	9. Continental	75,000	14.0	15.0
	10. ThyssenKrupp	65,000	12.0	13.0
France	1. L'Oréal	22,000	20.0	21.0
	2. Total	20,000	18.0	19.0
	3. Carrefour	18,000	16.0	17.0
	4. Danone	16,000	18.0	19.0
	5. Airbus	14,000	16.0	17.0
	6. Bouygues	12,000	14.0	15.0
	7. Alcatel	10,000	16.0	17.0
	8. Bouffes	8,000	14.0	15.0
	9. Bouygues	6,000	12.0	13.0
	10. Bouygues	4,000	10.0	11.0

Table 2 Data for the 10 largest companies in each of the 10 countries, ranked according to sales, 2012

Table 3 Data for the 10 largest companies in each of the 10 countries, ranked according to sales, 2012

Country	Company	ROE (%)	
		2011	2012
Germany	1. Volkswagen	12.5	13.5
	2. Daimler	15.0	16.0
	3. SAP	18.0	19.0
	4. Linde	20.0	21.0
	5. Allianz	14.0	15.0
	6. Bayer	16.0	17.0
	7. Henkel	14.0	15.0
	8. BASF	16.0	17.0
	9. Continental	14.0	15.0
	10. ThyssenKrupp	12.0	13.0
France	1. L'Oréal	20.0	21.0
	2. Total	18.0	19.0
	3. Carrefour	16.0	17.0
	4. Danone	18.0	19.0
	5. Airbus	16.0	17.0
	6. Bouygues	14.0	15.0
	7. Alcatel	16.0	17.0
	8. Bouffes	14.0	15.0
	9. Bouygues	12.0	13.0
	10. Bouygues	10.0	11.0

Table 4 Data for the 10 largest companies in each of the 10 countries, ranked according to sales, 2012

「*Wissenschaft*」在德語中是「科學」的意思，但在此處卻被翻譯成「學問」，這就顯得有些奇怪了。因為「學問」在中文中通常是指「知識」或「學術」，而「科學」則是指「科學」。這種翻譯上的差異，可能會導致讀者對作者的觀點產生誤解。

此外，作者在文中還提到，「*Wissenschaft*」在德語中是「科學」的意思，但在此處卻被翻譯成「學問」。這種翻譯上的差異，可能會導致讀者對作者的觀點產生誤解。作者認為，「*Wissenschaft*」在德語中是「科學」的意思，但在此處卻被翻譯成「學問」。這種翻譯上的差異，可能會導致讀者對作者的觀點產生誤解。

作者認為，「*Wissenschaft*」在德語中是「科學」的意思，但在此處卻被翻譯成「學問」。這種翻譯上的差異，可能會導致讀者對作者的觀點產生誤解。作者認為，「*Wissenschaft*」在德語中是「科學」的意思，但在此處卻被翻譯成「學問」。這種翻譯上的差異，可能會導致讀者對作者的觀點產生誤解。

作者認為，「*Wissenschaft*」在德語中是「科學」的意思，但在此處卻被翻譯成「學問」。這種翻譯上的差異，可能會導致讀者對作者的觀點產生誤解。

作者認為，「*Wissenschaft*」在德語中是「科學」的意思，但在此處卻被翻譯成「學問」。這種翻譯上的差異，可能會導致讀者對作者的觀點產生誤解。作者認為，「*Wissenschaft*」在德語中是「科學」的意思，但在此處卻被翻譯成「學問」。這種翻譯上的差異，可能會導致讀者對作者的觀點產生誤解。

關於「*Wissenschaft*」在德語中是「科學」的意思，但在此處卻被翻譯成「學問」。



作者認為，「*Wissenschaft*」在德語中是「科學」的意思，但在此處卻被翻譯成「學問」。這種翻譯上的差異，可能會導致讀者對作者的觀點產生誤解。

作者認為，「*Wissenschaft*」在德語中是「科學」的意思，但在此處卻被翻譯成「學問」。這種翻譯上的差異，可能會導致讀者對作者的觀點產生誤解。

1950年7月間，由西貢發往廣東省潮梅地區之軍用飛機，均被匪劫。據此可見，匪機之活動範圍，已擴大到廣東省境內。此外，據報：匪機在廣東省境內，亦曾襲擊地方，殺傷平民，擄掠財物。此種情形，實屬嚴重。現正由有關方面，積極進行調查中。

據報：最近匪機在廣東省境內，曾襲擊地方，殺傷平民，擄掠財物。此種情形，實屬嚴重。現正由有關方面，積極進行調查中。此外，據報：最近匪機在廣東省境內，曾襲擊地方，殺傷平民，擄掠財物。此種情形，實屬嚴重。現正由有關方面，積極進行調查中。此外，據報：最近匪機在廣東省境內，曾襲擊地方，殺傷平民，擄掠財物。此種情形，實屬嚴重。現正由有關方面，積極進行調查中。

圖1-1 越南與中國之邊境線



此種情形，實屬嚴重。現正由有關方面，積極進行調查中。此外，據報：最近匪機在廣東省境內，曾襲擊地方，殺傷平民，擄掠財物。此種情形，實屬嚴重。現正由有關方面，積極進行調查中。

1950年7月間之軍用飛機

據報：最近匪機在廣東省境內，曾襲擊地方，殺傷平民，擄掠財物。此種情形，實屬嚴重。現正由有關方面，積極進行調查中。

據報：最近匪機在廣東省境內，曾襲擊地方，殺傷平民，擄掠財物。此種情形，實屬嚴重。現正由有關方面，積極進行調查中。此外，據報：最近匪機在廣東省境內，曾襲擊地方，殺傷平民，擄掠財物。此種情形，實屬嚴重。現正由有關方面，積極進行調查中。此外，據報：最近匪機在廣東省境內，曾襲擊地方，殺傷平民，擄掠財物。此種情形，實屬嚴重。現正由有關方面，積極進行調查中。

2. 越南 越南

據報：最近匪機在廣東省境內，曾襲擊地方，殺傷平民，擄掠財物。此種情形，實屬嚴重。現正由有關方面，積極進行調查中。此外，據報：最近匪機在廣東省境內，曾襲擊地方，殺傷平民，擄掠財物。此種情形，實屬嚴重。現正由有關方面，積極進行調查中。

the following: (1) the number of different types of particles in the sample; (2) the number of particles of each type; (3) the number of particles of each type per unit volume of sample.

Fig. 2.4

2.1. NUMBER AND PARTICLES OF PARTICLES IN A 10% SOLUTION OF 10% POLYMER

Suppose that a 10% solution of 10% polymer is prepared by dissolving 10 g of polymer in 90 g of solvent. The total mass of the solution is 100 g. The number of particles of each type is given by the number of particles of each type in the polymer. The number of particles of each type is given by the number of particles of each type in the polymer. The number of particles of each type is given by the number of particles of each type in the polymer.



The number of particles of each type is given by the number of particles of each type in the polymer. The number of particles of each type is given by the number of particles of each type in the polymer. The number of particles of each type is given by the number of particles of each type in the polymer.

2.2. THE NUMBER OF PARTICLES IN A 10% SOLUTION OF 10% POLYMER

The number of particles of each type is given by the number of particles of each type in the polymer. The number of particles of each type is given by the number of particles of each type in the polymer. The number of particles of each type is given by the number of particles of each type in the polymer.

The number of particles of each type is given by the number of particles of each type in the polymer. The number of particles of each type is given by the number of particles of each type in the polymer. The number of particles of each type is given by the number of particles of each type in the polymer.

The number of particles of each type is given by the number of particles of each type in the polymer. The number of particles of each type is given by the number of particles of each type in the polymer. The number of particles of each type is given by the number of particles of each type in the polymer.

Table 2.1. Chemical analysis of specimens 2.1.1 and 2.1.2.

	2.1.1	2.1.2
Weight	10.16 (360 mg)	10.16 (360 mg)
Size (mm)	10.0	10.0
Color	yellow	yellow
Odor	nil	nil
IR	3400-3000 (OH), 2900 (C-H), 1700 (C=O), 1600 (C=C), 1500 (C-O), 1450 (C=C), 1380 (C-O), 1280 (C-O), 1100 (C-O), 700 (C-H)	3400-3000 (OH), 2900 (C-H), 1700 (C=O), 1600 (C=C), 1500 (C-O), 1450 (C=C), 1380 (C-O), 1280 (C-O), 1100 (C-O), 700 (C-H)
¹³ C NMR	170, 155, 140, 135, 125, 120, 115, 110, 105, 100, 95, 90, 85, 80, 75, 70, 65, 60, 55, 50, 45, 40, 35, 30, 25, 20, 15, 10, 5, 0	170, 155, 140, 135, 125, 120, 115, 110, 105, 100, 95, 90, 85, 80, 75, 70, 65, 60, 55, 50, 45, 40, 35, 30, 25, 20, 15, 10, 5, 0
¹ H NMR	7.5 (d, 2H), 6.8 (d, 2H), 6.5 (s, 1H), 5.5 (s, 1H), 4.5 (s, 1H), 3.5 (s, 1H), 2.5 (s, 1H), 1.5 (s, 1H), 0.5 (s, 1H)	7.5 (d, 2H), 6.8 (d, 2H), 6.5 (s, 1H), 5.5 (s, 1H), 4.5 (s, 1H), 3.5 (s, 1H), 2.5 (s, 1H), 1.5 (s, 1H), 0.5 (s, 1H)
MS	m/z 170, 155, 140, 135, 125, 120, 115, 110, 105, 100, 95, 90, 85, 80, 75, 70, 65, 60, 55, 50, 45, 40, 35, 30, 25, 20, 15, 10, 5, 0	m/z 170, 155, 140, 135, 125, 120, 115, 110, 105, 100, 95, 90, 85, 80, 75, 70, 65, 60, 55, 50, 45, 40, 35, 30, 25, 20, 15, 10, 5, 0

Figure 2.1. IR spectrum of specimen 2.1.1.



Figure 2.2. IR spectrum of specimen 2.1.2.



圖 2-1 100% 純度的 2,4-二硝基氯苯的核磁共振波譜圖
 100% 純度, 100% 純度, 100% 純度



圖 2-2 100% 純度的 2,4-二硝基氯苯的核磁共振波譜圖
 100% 純度, 100% 純度, 100% 純度



圖 2-3 100% 純度的 2,4-二硝基氯苯的核磁共振波譜圖

100% 純度, 100% 純度, 100% 純度

在 100% 純度的 2,4-二硝基氯苯的核磁共振波譜圖中，

可以看到在 7.5-8.5 ppm 之間有一個複雜的多重峰，這是由於氯原子的電負性影響，使得鄰近的質子受到去屏蔽作用，化學位移向高場移動。此外，在 3.5 ppm 左右有一個較窄的峰，這可能是由於硝基基團的影響所致。總的來說，該波譜圖顯示了 2,4-二硝基氯苯的複雜結構和電子環境。

在 100% 純度的 2,4-二硝基氯苯的核磁共振波譜圖中，可以看到在 7.5-8.5 ppm 之間有一個複雜的多重峰，這是由於氯原子的電負性影響，使得鄰近的質子受到去屏蔽作用，化學位移向高場移動。此外，在 3.5 ppm 左右有一個較窄的峰，這可能是由於硝基基團的影響所致。總的來說，該波譜圖顯示了 2,4-二硝基氯苯的複雜結構和電子環境。

在 100% 純度的 2,4-二硝基氯苯的核磁共振波譜圖中，可以看到在 7.5-8.5 ppm 之間有一個複雜的多重峰，這是由於氯原子的電負性影響，使得鄰近的質子受到去屏蔽作用，化學位移向高場移動。此外，在 3.5 ppm 左右有一個較窄的峰，這可能是由於硝基基團的影響所致。總的來說，該波譜圖顯示了 2,4-二硝基氯苯的複雜結構和電子環境。

在 100% 純度的 2,4-二硝基氯苯的核磁共振波譜圖中，可以看到在 7.5-8.5 ppm 之間有一個複雜的多重峰，這是由於氯原子的電負性影響，使得鄰近的質子受到去屏蔽作用，化學位移向高場移動。此外，在 3.5 ppm 左右有一個較窄的峰，這可能是由於硝基基團的影響所致。總的來說，該波譜圖顯示了 2,4-二硝基氯苯的複雜結構和電子環境。

在 100% 純度的 2,4-二硝基氯苯的核磁共振波譜圖中，可以看到在 7.5-8.5 ppm 之間有一個複雜的多重峰，這是由於氯原子的電負性影響，使得鄰近的質子受到去屏蔽作用，化學位移向高場移動。此外，在 3.5 ppm 左右有一個較窄的峰，這可能是由於硝基基團的影響所致。總的來說，該波譜圖顯示了 2,4-二硝基氯苯的複雜結構和電子環境。

在 100% 純度的 2,4-二硝基氯苯的核磁共振波譜圖中，可以看到在 7.5-8.5 ppm 之間有一個複雜的多重峰，這是由於氯原子的電負性影響，使得鄰近的質子受到去屏蔽作用，化學位移向高場移動。此外，在 3.5 ppm 左右有一個較窄的峰，這可能是由於硝基基團的影響所致。總的來說，該波譜圖顯示了 2,4-二硝基氯苯的複雜結構和電子環境。

在 100% 純度的 2,4-二硝基氯苯的核磁共振波譜圖中，可以看到在 7.5-8.5 ppm 之間有一個複雜的多重峰，這是由於氯原子的電負性影響，使得鄰近的質子受到去屏蔽作用，化學位移向高場移動。此外，在 3.5 ppm 左右有一個較窄的峰，這可能是由於硝基基團的影響所致。總的來說，該波譜圖顯示了 2,4-二硝基氯苯的複雜結構和電子環境。



Fig. 2.—Phylogenetic tree of *Metacarus*.



TABLE 5.—First Antennal Segments of *Metacarus* SPP. (After Sch. 1964) *Metacarus Beauvoisii*—31; *constrictus*—45; *crenatus*—17.

	1	2	3	4	5	6	7
<i>Metacarus Beauvoisii</i>	11	11	11	11	11	11	11
<i>Metacarus constrictus</i>	11	11	11	11	11	11	11
<i>Metacarus crenatus</i>	11	11	11	11	11	11	11
Mean	11	11	11	11	11	11	11
Standard deviation	11	11	11	11	11	11	11

Fig. 3.—Schematic drawings of antennal segments.

1. 在 100°C 下，将 1.00 克（0.0100 摩尔）的
 对硝基苯酚与 1.00 克（0.0100 摩尔）的
 碳酸钠反应，生成对硝基苯酚钠。反应式如下：

$$\text{C}_6\text{H}_4(\text{NO}_2)\text{OH} + \text{Na}_2\text{CO}_3 \rightarrow \text{C}_6\text{H}_4(\text{NO}_2)\text{ONa} + \text{NaHCO}_3$$
 2. 将生成的对硝基苯酚钠与 1.00 克（0.0100 摩尔）的
 碘甲烷反应，生成对硝基苯甲醚。反应式如下：

$$\text{C}_6\text{H}_4(\text{NO}_2)\text{ONa} + \text{CH}_3\text{I} \rightarrow \text{C}_6\text{H}_4(\text{NO}_2)\text{OCH}_3 + \text{NaI}$$
 3. 将生成的对硝基苯甲醚与 1.00 克（0.0100 摩尔）的
 碘甲烷反应，生成对硝基苯二甲醚。反应式如下：

$$\text{C}_6\text{H}_4(\text{NO}_2)\text{OCH}_3 + \text{CH}_3\text{I} \rightarrow \text{C}_6\text{H}_4(\text{NO}_2)\text{OCH}_2\text{CH}_3 + \text{NaI}$$
 4. 将生成的对硝基苯二甲醚与 1.00 克（0.0100 摩尔）的
 碘甲烷反应，生成对硝基苯三甲醚。反应式如下：

$$\text{C}_6\text{H}_4(\text{NO}_2)\text{OCH}_2\text{CH}_3 + \text{CH}_3\text{I} \rightarrow \text{C}_6\text{H}_4(\text{NO}_2)\text{OCH}_2\text{CH}_2\text{CH}_3 + \text{NaI}$$
 5. 将生成的对硝基苯三甲醚与 1.00 克（0.0100 摩尔）的
 碘甲烷反应，生成对硝基苯四甲醚。反应式如下：

$$\text{C}_6\text{H}_4(\text{NO}_2)\text{OCH}_2\text{CH}_2\text{CH}_3 + \text{CH}_3\text{I} \rightarrow \text{C}_6\text{H}_4(\text{NO}_2)\text{OCH}_2\text{CH}_2\text{CH}_2\text{CH}_3 + \text{NaI}$$



圖 10. 試驗的 10 分鐘內所發生的電位差和電流隨時間而變化的圖表。圖中 1 和 2 兩條曲線，分別表示在 10 分鐘內所發生的電位差和電流。圖中 3 和 4 兩條曲線，分別表示在 10 分鐘內所發生的電位差和電流的平均值。圖中 5 和 6 兩條曲線，分別表示在 10 分鐘內所發生的電位差和電流的標準偏差。圖中 7 和 8 兩條曲線，分別表示在 10 分鐘內所發生的電位差和電流的極限偏差。圖中 9 和 10 兩條曲線，分別表示在 10 分鐘內所發生的電位差和電流的極限偏差的平方。

圖 11. 試驗的 10 分鐘內所發生的電位差和電流的平均值隨時間而變化的圖表。圖中 1 和 2 兩條曲線，分別表示在 10 分鐘內所發生的電位差和電流的平均值。圖中 3 和 4 兩條曲線，分別表示在 10 分鐘內所發生的電位差和電流的平均值的平方。

圖 12. 試驗的 10 分鐘內所發生的電位差和電流的極限偏差隨時間而變化的圖表。圖中 1 和 2 兩條曲線，分別表示在 10 分鐘內所發生的電位差和電流的極限偏差。圖中 3 和 4 兩條曲線，分別表示在 10 分鐘內所發生的電位差和電流的極限偏差的平方。圖中 5 和 6 兩條曲線，分別表示在 10 分鐘內所發生的電位差和電流的極限偏差的平方根。圖中 7 和 8 兩條曲線，分別表示在 10 分鐘內所發生的電位差和電流的極限偏差的平方根的平方。

圖 13. 試驗的 10 分鐘內所發生的電位差和電流的極限偏差的平方隨時間而變化的圖表。圖中 1 和 2 兩條曲線，分別表示在 10 分鐘內所發生的電位差和電流的極限偏差的平方。圖中 3 和 4 兩條曲線，分別表示在 10 分鐘內所發生的電位差和電流的極限偏差的平方的平方根。圖中 5 和 6 兩條曲線，分別表示在 10 分鐘內所發生的電位差和電流的極限偏差的平方的平方根的平方。

圖 14. 試驗的 10 分鐘內所發生的電位差和電流的極限偏差的平方根的平方隨時間而變化的圖表。圖中 1 和 2 兩條曲線，分別表示在 10 分鐘內所發生的電位差和電流的極限偏差的平方根的平方。圖中 3 和 4 兩條曲線，分別表示在 10 分鐘內所發生的電位差和電流的極限偏差的平方根的平方的平方根。

圖 15. 試驗的 10 分鐘內所發生的電位差和電流的圖表



圖 16. 試驗的 10 分鐘內所發生的電位差和電流的圖表

圖 17. 試驗的 10 分鐘內所發生的電位差和電流的圖表。圖中 1 和 2 兩條曲線，分別表示在 10 分鐘內所發生的電位差和電流。圖中 3 和 4 兩條曲線，分別表示在 10 分鐘內所發生的電位差和電流的平均值。圖中 5 和 6 兩條曲線，分別表示在 10 分鐘內所發生的電位差和電流的標準偏差。圖中 7 和 8 兩條曲線，分別表示在 10 分鐘內所發生的電位差和電流的極限偏差。圖中 9 和 10 兩條曲線，分別表示在 10 分鐘內所發生的電位差和電流的極限偏差的平方。

圖 18. 試驗的 10 分鐘內所發生的電位差和電流的平均值隨時間而變化的圖表。圖中 1 和 2 兩條曲線，分別表示在 10 分鐘內所發生的電位差和電流的平均值。圖中 3 和 4 兩條曲線，分別表示在 10 分鐘內所發生的電位差和電流的平均值的平方。圖中 5 和 6 兩條曲線，分別表示在 10 分鐘內所發生的電位差和電流的平均值的平方根。圖中 7 和 8 兩條曲線，分別表示在 10 分鐘內所發生的電位差和電流的平均值的平方根的平方。

1958年10月，中国科学院水生生物研究所水生昆虫室，在湖北汉川、潜江、沔阳、监利、天门市等县，采集到一批水生昆虫，其中有一类昆虫，其形态特征与已知的水生昆虫不同。经初步鉴定，认为是一种新的水生昆虫。现将这种新发现的水生昆虫，命名为“水生昆虫新种”。

这种水生昆虫，体长3.5—4.0厘米，体色黄褐色，腹部膨大，头部短小，触角短，复眼大，口器发达。幼虫体长1.5—2.0厘米，体色黄褐色，腹部膨大，头部短小，触角短，复眼大，口器发达。

这种水生昆虫，主要分布在湖北汉川、潜江、沔阳、监利、天门市等县。

这种水生昆虫，是一种新的水生昆虫，其形态特征与已知的水生昆虫不同。

水生昆虫新种

体长3.5—4.0厘米，体色黄褐色，腹部膨大，头部短小，触角短，复眼大，口器发达。幼虫体长1.5—2.0厘米，体色黄褐色，腹部膨大，头部短小，触角短，复眼大，口器发达。

主要分布在湖北汉川、潜江、沔阳、监利、天门市等县。

是一种新的水生昆虫，其形态特征与已知的水生昆虫不同。

图 100 水生昆虫新种 (1) 成虫 (2) 幼虫



图 100 水生昆虫新种 (1) 成虫 (2) 幼虫

水生昆虫新种	水生昆虫新种
体长 3.5—4.0 厘米	体长 1.5—2.0 厘米
	
1.5—2.0	1.5—2.0
2.0—2.5	2.0—2.5
2.5—3.0	2.5—3.0
3.0—3.5	3.0—3.5

这种水生昆虫，主要分布在湖北汉川、潜江、沔阳、监利、天门市等县。

是一种新的水生昆虫，其形态特征与已知的水生昆虫不同。

TABLE 1
 Descriptive Statistics of the Study Sample
 (N=180)

Gender	Age				$\chi^2(1)$	p
	M	SD	Min	Max		
Male	58.4	10.6	48.0	68.0	0.2	0.62
Female	58.3	10.8	48.0	68.0	0.2	0.62
Total	58.3	10.7	48.0	68.0	0.4	0.53
Marital	Status				$\chi^2(2)$	p
	M	SD	Min	Max		
Single	Married		Never Married		12.5	0.02
	30.5	4.2	51.5	5.5		
Married	Single		Divorced		2.0	0.16
	41.0	5.5	56.5	6.5		

THE MEASUREMENT OF THE CONCEPTS

The nine items of the job involvement scale, which are listed in Table 2, were derived from a pilot study. In the pilot study, 100 employees of an industrial company were asked to rate the nine items on a 5-point Likert scale (1=never true, 5=always true). The internal consistency reliability of the nine items was 0.82. In addition, exploratory factor analysis revealed the presence of a single factor. The factor loadings of the nine items on this factor are presented in Table 3. The Cronbach's α for the nine items is 0.82. The factor loadings of the nine items are: (1) I have a strong sense of responsibility towards my job (0.91); (2) I do my job because I want to (0.89); (3) I have a strong interest in my job (0.86); (4) I am proud of my job (0.84); (5) I feel that my job is important (0.83); (6) I have a strong sense of ownership towards my job (0.80); (7) I feel that my job is meaningful (0.78); (8) I have a strong sense of commitment towards my job (0.76); and (9) I have a strong sense of loyalty towards my job (0.73). The mean score of the nine items is 3.52 (SD = 0.71). The Cronbach's α for the nine items is 0.82.

Table 2. Descriptive Statistics of Job Involvement Scale Items

Item	M	SD
1. I have a strong sense of responsibility towards my job	4.28	0.75
2. I do my job because I want to	3.59	0.90
3. I have a strong interest in my job	3.91	0.89
4. I am proud of my job	3.68	0.90
5. I feel that my job is important	3.96	0.88
6. I have a strong sense of ownership towards my job	3.91	0.89
7. I feel that my job is meaningful	3.81	0.90
8. I have a strong sense of commitment towards my job	3.89	0.88
9. I have a strong sense of loyalty towards my job	3.59	0.89
Total	35.20	6.05

Table 3. Factor Loadings of Job Involvement Scale Items

Item	Factor 1
1. I have a strong sense of responsibility towards my job	0.91
2. I do my job because I want to	0.89
3. I have a strong interest in my job	0.86
4. I am proud of my job	0.84
5. I feel that my job is important	0.83
6. I have a strong sense of ownership towards my job	0.80
7. I feel that my job is meaningful	0.78
8. I have a strong sense of commitment towards my job	0.76
9. I have a strong sense of loyalty towards my job	0.73
Total	0.82

1.2.1. **Stage 1: Initial Assessment**—The initial assessment is the first step in the process of identifying and addressing IPV. It involves gathering information about the incident, the individuals involved, and the context of the relationship. This stage is crucial for determining the severity of the incident and the need for further intervention. Key elements include:

- Incident Details:** Understanding the nature and extent of the violence, including the date, time, and location of the incident.
- Individuals Involved:** Identifying the perpetrator and the victim, and understanding their relationship.
- Contextual Factors:** Exploring the history of the relationship, previous incidents, and any external factors that may have contributed to the violence.

1.2.2. **Stage 2: Risk Assessment**

The second stage involves a more detailed assessment of the risk posed by the perpetrator. This stage is essential for determining the level of danger to the victim and the need for protective measures. Key elements include:

- Perpetrator's History:** Reviewing the perpetrator's past history of violence, including any previous arrests or convictions.
- Victim's Vulnerability:** Assessing the victim's physical, emotional, and financial vulnerability, and their ability to seek help.
- Current Situation:** Evaluating the current relationship dynamics, including any ongoing threats or attempts at reconciliation.
- Protective Measures:** Identifying and implementing appropriate protective measures, such as restraining orders, safety plans, and support services.

Downloaded from <http://jiv.sagepub.com>
at National Archive Publishing Co on June 14, 2015

Fig 2 Initial and Subsequent Use of Assessment II: Risk Level II (1) (continued)



The flowchart illustrates the process of initial and subsequent assessment for Risk Level II (1). It begins with an initial assessment of the incident, victim, and perpetrator. This leads to a subsequent assessment, which then informs an initial and subsequent assessment. This process branches into two paths: one leading to a subsequent assessment and another leading to an initial assessment. Both paths eventually lead to a final subsequent assessment.

【表 1】 表 1 显示了在不同年份和不同地点，*Phragmites* 的繁殖情况。表中列出了年份、地点、以及在不同年份和地点的繁殖情况。表中的数据表明，*Phragmites* 的繁殖在不同年份和地点之间存在显著差异。

【表 2】 表 2 显示了在不同年份和不同地点，*Phragmites* 的繁殖情况。表中列出了年份、地点、以及在不同年份和地点的繁殖情况。表中的数据表明，*Phragmites* 的繁殖在不同年份和地点之间存在显著差异。

【表 3】 表 3 显示了在不同年份和不同地点，*Phragmites* 的繁殖情况。表中列出了年份、地点、以及在不同年份和地点的繁殖情况。表中的数据表明，*Phragmites* 的繁殖在不同年份和地点之间存在显著差异。

Table 1. Reproduction of *Phragmites* in different years and locations.

Year	1990		1991	
	Site A	Site B	Site A	Site B
1990	100	100	100	100
1991	100	100	100	100
1992	100	100	100	100
1993	100	100	100	100
1994	100	100	100	100
1995	100	100	100	100
1996	100	100	100	100
1997	100	100	100	100
1998	100	100	100	100
1999	100	100	100	100
2000	100	100	100	100
2001	100	100	100	100
2002	100	100	100	100
2003	100	100	100	100
2004	100	100	100	100
2005	100	100	100	100
2006	100	100	100	100
2007	100	100	100	100
2008	100	100	100	100
2009	100	100	100	100
2010	100	100	100	100

FIGURE 1. IR SPECTRUM OF BROMOPOLYMER 1 (100% CONVERSION)



FIGURE 2. ¹³C NMR SPECTRUM OF BROMOPOLYMER 1 (100% CONVERSION) IN CDCl₃-DMSO-d₆



(continued)

FIGURE 3. ¹³C NMR SPECTRUM OF BROMOPOLYMER 2 (100% CONVERSION) IN CDCl₃-DMSO-d₆



FIGURE 4. ¹³C NMR SPECTRUM OF BROMOPOLYMER 3 (100% CONVERSION) IN CDCl₃-DMSO-d₆



(continued)

Fig. 2. ^{13}C -NMR spectra of (a) 1,2-dioxane and (b) 1,2-dioxane- d_6 .

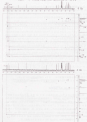
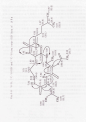


Fig. 3. ^{13}C -NMR spectra of (a) 1,2-dioxane and (b) 1,2-dioxane- d_6 .



「此書之宗旨在使讀者得悉中國文學之概況，故對於中國文學史之研究，必以中國文學之發展為前提，而此項發展之研究，則以中國文學之源流為根據。故本書之編纂，是以中國文學之源流為根據，而以中國文學之發展為前提。故本書之編纂，是以中國文學之源流為根據，而以中國文學之發展為前提。」

這本《中國文學史》的編纂，是以中國文學之源流為根據，而以中國文學之發展為前提。故本書之編纂，是以中國文學之源流為根據，而以中國文學之發展為前提。故本書之編纂，是以中國文學之源流為根據，而以中國文學之發展為前提。

這本《中國文學史》的編纂，是以中國文學之源流為根據，而以中國文學之發展為前提。故本書之編纂，是以中國文學之源流為根據，而以中國文學之發展為前提。

Table 1.1. Statistical Methods of Interpretation of 中國文學史
Table 1.1. 中國文學史之統計方法

Method	How many	
	Number of cases	Percentage (%)
1. 1	1.1	11.1
2. 2	2.2	22.2
3. 3	3.3	33.3

「此書之宗旨在使讀者得悉中國文學之概況，故對於中國文學史之研究，必以中國文學之發展為前提，而此項發展之研究，則以中國文學之源流為根據。故本書之編纂，是以中國文學之源流為根據，而以中國文學之發展為前提。故本書之編纂，是以中國文學之源流為根據，而以中國文學之發展為前提。」

「此書之宗旨在使讀者得悉中國文學之概況，故對於中國文學史之研究，必以中國文學之發展為前提，而此項發展之研究，則以中國文學之源流為根據。故本書之編纂，是以中國文學之源流為根據，而以中國文學之發展為前提。故本書之編纂，是以中國文學之源流為根據，而以中國文學之發展為前提。」

「此書之宗旨在使讀者得悉中國文學之概況，故對於中國文學史之研究，必以中國文學之發展為前提，而此項發展之研究，則以中國文學之源流為根據。故本書之編纂，是以中國文學之源流為根據，而以中國文學之發展為前提。故本書之編纂，是以中國文學之源流為根據，而以中國文學之發展為前提。」

「此書之宗旨在使讀者得悉中國文學之概況，故對於中國文學史之研究，必以中國文學之發展為前提，而此項發展之研究，則以中國文學之源流為根據。故本書之編纂，是以中國文學之源流為根據，而以中國文學之發展為前提。故本書之編纂，是以中國文學之源流為根據，而以中國文學之發展為前提。」

Table 1.2. Statistical Methods of Interpretation of 中國文學史
Table 1.2. 中國文學史之統計方法

Method	How many	
	Number of cases	Percentage (%)
1. 1	1.1	11.1
2. 2	2.2	22.2
3. 3	3.3	33.3

一、總論。本報自創刊以來，對於社會公益，無不竭力贊助，且對於社會公益之發展，尤有極大之貢獻。本報自創刊以來，對於社會公益，無不竭力贊助，且對於社會公益之發展，尤有極大之貢獻。

本報自創刊以來，對於社會公益，無不竭力贊助，且對於社會公益之發展，尤有極大之貢獻。本報自創刊以來，對於社會公益，無不竭力贊助，且對於社會公益之發展，尤有極大之貢獻。

本報自創刊以來，對於社會公益，無不竭力贊助，且對於社會公益之發展，尤有極大之貢獻。本報自創刊以來，對於社會公益，無不竭力贊助，且對於社會公益之發展，尤有極大之貢獻。

本報自創刊以來，對於社會公益，無不竭力贊助，且對於社會公益之發展，尤有極大之貢獻。本報自創刊以來，對於社會公益，無不竭力贊助，且對於社會公益之發展，尤有極大之貢獻。

本報自創刊以來，對於社會公益，無不竭力贊助，且對於社會公益之發展，尤有極大之貢獻。本報自創刊以來，對於社會公益，無不竭力贊助，且對於社會公益之發展，尤有極大之貢獻。

本報自創刊以來，對於社會公益，無不竭力贊助，且對於社會公益之發展，尤有極大之貢獻。本報自創刊以來，對於社會公益，無不竭力贊助，且對於社會公益之發展，尤有極大之貢獻。

本報自創刊以來，對於社會公益，無不竭力贊助，且對於社會公益之發展，尤有極大之貢獻。

本報自創刊以來，對於社會公益，無不竭力贊助，且對於社會公益之發展，尤有極大之貢獻。本報自創刊以來，對於社會公益，無不竭力贊助，且對於社會公益之發展，尤有極大之貢獻。

一、總論

二、本報之宗旨

三、本報之組織

本報自創刊以來，對於社會公益，無不竭力贊助，且對於社會公益之發展，尤有極大之貢獻。本報自創刊以來，對於社會公益，無不竭力贊助，且對於社會公益之發展，尤有極大之貢獻。

三、研究結論

1. 根據研究發現，我國企業在進行國際化經營時，應根據自身經營特點，選擇適合的國際化經營模式。

2. 根據研究發現，我國企業在進行國際化經營時，應根據自身經營特點，選擇適合的國際化經營模式。

3. 根據研究發現，我國企業在進行國際化經營時，應根據自身經營特點，選擇適合的國際化經營模式。

4. 根據研究發現，我國企業在進行國際化經營時，應根據自身經營特點，選擇適合的國際化經營模式。

5. 根據研究發現，我國企業在進行國際化經營時，應根據自身經營特點，選擇適合的國際化經營模式。

6. 根據研究發現，我國企業在進行國際化經營時，應根據自身經營特點，選擇適合的國際化經營模式。

7. 根據研究發現，我國企業在進行國際化經營時，應根據自身經營特點，選擇適合的國際化經營模式。

8. 根據研究發現，我國企業在進行國際化經營時，應根據自身經營特點，選擇適合的國際化經營模式。

9. 根據研究發現，我國企業在進行國際化經營時，應根據自身經營特點，選擇適合的國際化經營模式。

10. 結論與建議 (Conclusion and Recommendations)

11. 根據研究發現，我國企業在進行國際化經營時，應根據自身經營特點，選擇適合的國際化經營模式。

12. 參考文獻 (References)

13. 根據研究發現，我國企業在進行國際化經營時，應根據自身經營特點，選擇適合的國際化經營模式。

1. 中國 經濟的現狀

1.1 中國經濟的現狀 (1949-1978)

1949年10月1日，中華人民共和國成立。在毛澤東的領導下，中國開始了社會主義建設。在1950年代，中國經濟經歷了快速的增長，主要得益於農業和工業的生產。然而，在1958年，中國開始了「大躍進」運動，這導致了嚴重的經濟危機和饑饉。1960年代，中國經濟陷入了停滯不前的狀態。1978年，中國開始了改革開放，這標誌著中國經濟的轉折點。

1.2 中國經濟的現狀 (1978-1989)

1978年，中國開始了改革開放，這標誌著中國經濟的轉折點。

1.3 中國經濟的現狀 (1989-1999)

1989年，中國發生了六四天安門事件，這標誌著中國經濟的轉折點。在1990年代，中國經濟經歷了快速的增長，主要得益於改革開放政策的實施。然而，在1997年，中國發生了亞洲金融危機，這導致了嚴重的經濟危機。1999年，中國開始了加入世界貿易組織的談判，這標誌著中國經濟的轉折點。

2. 中國 政治的現狀

2.1 中國政治的現狀 (1949-1978)

1949年10月1日，中華人民共和國成立。在毛澤東的領導下，中國開始了社會主義建設。在1950年代，中國政治經歷了快速的發展，主要得益於農業和工業的生產。然而，在1958年，中國開始了「大躍進」運動，這導致了嚴重的政治危機和饑饉。1960年代，中國政治陷入了停滯不前的狀態。1978年，中國開始了改革開放，這標誌著中國政治的轉折點。

2.2 中國政治的現狀 (1978-1989)

1978年，中國開始了改革開放，這標誌著中國政治的轉折點。

1989年，中國發生了六四天安門事件，這標誌著中國政治的轉折點。

在1990年代，中國政治經歷了快速的發展，主要得益於改革開放政策的實施。

然而，在1997年，中國發生了亞洲金融危機，這導致了嚴重的政治危機。

1999年，中國開始了加入世界貿易組織的談判，這標誌著中國政治的轉折點。

在2000年代，中國政治經歷了快速的發展，主要得益於改革開放政策的實施。

例 2

例 2.1 求下列函数的 Laplace 变换, 已知 $f(x) > 0$ 且 $f(x) < \infty$.

解 由例 2.1 知, $f(x) > 0$ 且 $f(x) < \infty$ 的 Laplace 变换为 $\frac{1}{s}$, 故 $f(x) = 1$.

例 2.2 求 $f(x) = e^{-x} \sin(x)$ 的 Laplace 变换.

解 由例 2.1 知, $f(x) = e^{-x} \sin(x)$ 的 Laplace 变换为 $\frac{1}{s^2 + 1}$, 故 $f(x) = e^{-x} \sin(x)$.

例 2.3 求 $f(x) = e^{-x} \cos(x)$ 的 Laplace 变换.

例 3

例 3.1 求 $f(x) = e^{-x} \sin(x)$ 的 Laplace 变换.

例 3.2 求 $f(x) = e^{-x} \cos(x)$ 的 Laplace 变换.

例 4

例 4.1 求 $f(x) = e^{-x} \sin(x)$ 的 Laplace 变换.

例 5

例 5.1 求 $f(x) = e^{-x} \sin(x)$ 的 Laplace 变换.

例 5.2 求 $f(x) = e^{-x} \cos(x)$ 的 Laplace 变换.

例 5.3 求 $f(x) = e^{-x} \sin(x)$ 的 Laplace 变换.

例 5.4 求 $f(x) = e^{-x} \cos(x)$ 的 Laplace 变换.

例 5.5 求 $f(x) = e^{-x} \sin(x)$ 的 Laplace 变换.

例 6

例 6.1 求 $f(x) = e^{-x} \sin(x)$ 的 Laplace 变换.

例 6.2 求 $f(x) = e^{-x} \cos(x)$ 的 Laplace 变换.

例 7

例 7.1 求 $f(x) = e^{-x} \sin(x)$ 的 Laplace 变换.

- 101. *Journal of the Royal Society of Medicine*, 1911, 4, 101-102.
- 102. *Journal of the Royal Society of Medicine*, 1911, 4, 103-104.
- 103. *Journal of the Royal Society of Medicine*, 1911, 4, 105-106.
- 104. *Journal of the Royal Society of Medicine*, 1911, 4, 107-108.
- 105. *Journal of the Royal Society of Medicine*, 1911, 4, 109-110.
- 106. *Journal of the Royal Society of Medicine*, 1911, 4, 111-112.
- 107. *Journal of the Royal Society of Medicine*, 1911, 4, 113-114.
- 108. *Journal of the Royal Society of Medicine*, 1911, 4, 115-116.
- 109. *Journal of the Royal Society of Medicine*, 1911, 4, 117-118.
- 110. *Journal of the Royal Society of Medicine*, 1911, 4, 119-120.
- 111. *Journal of the Royal Society of Medicine*, 1911, 4, 121-122.
- 112. *Journal of the Royal Society of Medicine*, 1911, 4, 123-124.
- 113. *Journal of the Royal Society of Medicine*, 1911, 4, 125-126.
- 114. *Journal of the Royal Society of Medicine*, 1911, 4, 127-128.
- 115. *Journal of the Royal Society of Medicine*, 1911, 4, 129-130.
- 116. *Journal of the Royal Society of Medicine*, 1911, 4, 131-132.
- 117. *Journal of the Royal Society of Medicine*, 1911, 4, 133-134.
- 118. *Journal of the Royal Society of Medicine*, 1911, 4, 135-136.
- 119. *Journal of the Royal Society of Medicine*, 1911, 4, 137-138.
- 120. *Journal of the Royal Society of Medicine*, 1911, 4, 139-140.

121. *Journal of the Royal Society of Medicine*, 1911, 4, 141-142.
 122. *Journal of the Royal Society of Medicine*, 1911, 4, 143-144.
 123. *Journal of the Royal Society of Medicine*, 1911, 4, 145-146.
 124. *Journal of the Royal Society of Medicine*, 1911, 4, 147-148.
 125. *Journal of the Royal Society of Medicine*, 1911, 4, 149-150.
 126. *Journal of the Royal Society of Medicine*, 1911, 4, 151-152.
 127. *Journal of the Royal Society of Medicine*, 1911, 4, 153-154.
 128. *Journal of the Royal Society of Medicine*, 1911, 4, 155-156.
 129. *Journal of the Royal Society of Medicine*, 1911, 4, 157-158.
 130. *Journal of the Royal Society of Medicine*, 1911, 4, 159-160.

